

# Simple K3 特異点方程式について

神戸大学総合人間科学研究科 門脇 圭治 (Keiji Kadowaki)

神戸大学発達科学部 高橋 正 (Tadashi Takahashi)

## Abstract.

In the theory of two-dimensional singularities, simple elliptic singularities and cusp singularities are regarded as the next most reasonable class of singularities after rational singularities. What are natural generalizations in three-dimensional case of those singularities. They are purely elliptic singularities. Simple elliptic singularities and cusp singularities are characterized as two-dimensional purely elliptic singularities of (0,1)-type and of (0,0)-type, respectively.

The notion of a simple K3 singularity is defined as a three-dimensional isolated Gorenstein purely elliptic singularity of (0,2)-type. Yonemura calculate the weights of hypersurface simple K3 singularities by nondegenerate polynomials and obtained examples.

We consider the deformation of their defining equations and show the Mathematica programs.

## 1. 2次元超曲面孤立特異点

$V$  を  $C^3$  の解析集合とする。 $V$  上の点  $x_0$  が孤立特異点であるとは、点  $x_0$  のある開近傍  $W$  において  $W \cap V - \{x_0\}$  が  $W - \{x_0\}$  の smooth submanifold であることである。2次元超曲面孤立特異点には、特異点解消理論において、その構造の容易なクラスとして、以下のようなクラスがある。

### (1) Rational singularities

$$\begin{aligned}
A_n &: x^{n+1} + y^2 + z^2, & \text{weights } \left(\frac{1}{n+1}, \frac{1}{2}, \frac{1}{2}\right), & \quad n \geq 1; \\
D_n &: x^{n-1} + y^2 + z^2, & \text{weights } \left(\frac{1}{n-1}, \frac{n-2}{2(n-1)}, \frac{1}{2}\right), & \quad n \geq 4; \\
E_6 &: x^4 + y^3 + z^2, & \text{weights } \left(\frac{1}{4}, \frac{1}{3}, \frac{1}{2}\right); \\
E_7 &: x^3y + y^3 + z^2, & \text{weights } \left(\frac{2}{9}, \frac{1}{3}, \frac{1}{2}\right); \\
E_8 &: x^5 + y^3 + z^2, & \text{weights } \left(\frac{1}{5}, \frac{1}{3}, \frac{1}{2}\right);
\end{aligned}$$

### (2) Elliptic singularities

特異点  $(X, x)$  が  $\dot{P}_g(X, x) = 1$ 、かつ、Gorenstein ならば minimally elliptic という。

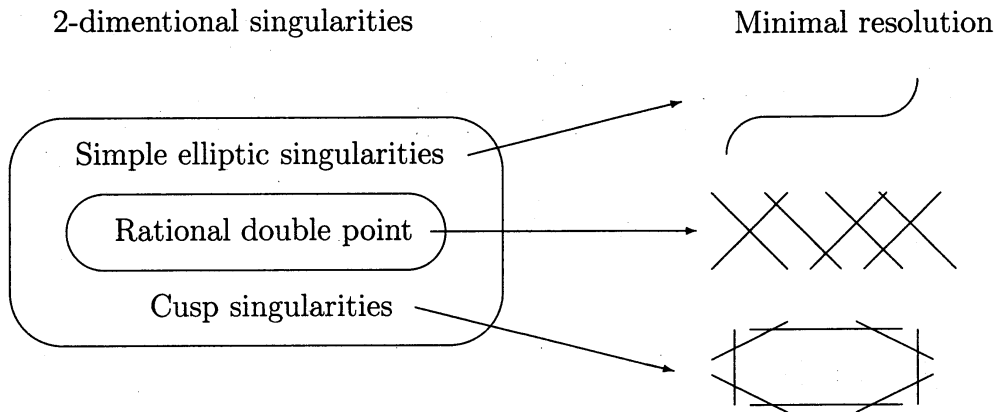
最小特異点解消の例外集合  $A$  が smooth elliptic curve ならば simply elliptic という。 $A^2 = -1, -2, -3$  のとき、 $(X, x)$  は次の重み付けられた同次多項式によって与えられた hypersurface singularity となる。

$$\begin{aligned} \widetilde{E}_6 : x^3 + y^3 + z^3 + \alpha xyz = 0, & \text{ weights } (\frac{1}{3}, \frac{1}{3}, \frac{1}{3}), \quad a^2 = -3 \\ \widetilde{E}_7 : x^4 + y^4 + z^2 + \alpha xyz = 0, & \text{ weights } (\frac{1}{4}, \frac{1}{4}, \frac{1}{2}), \quad a^2 = -2 \\ \widetilde{E}_8 : x^6 + y^3 + z^2 + \alpha xyz = 0, & \text{ weights } (\frac{1}{6}, \frac{1}{3}, \frac{1}{2}), \quad a^2 = -1 \end{aligned}$$

(3) Cusp singularities

最小特異点解消の例外集合が曲線の交叉であり、かつ、その曲線が single rational curve か smooth rational curve のサイクルのどちらか一方であるならば、特異点  $x \in X$  を cusp singularities という。hypersurface cusp singularities は多項式  $T_{p,q,r} : x^p + y^q + z^r + \alpha xyz, \frac{1}{p} + \frac{1}{q} + \frac{1}{r} < 1$  かつ  $\alpha \neq 0$  によって与えられる。

以上の2次元超曲面孤立特異点を、その構造の複雑さで図示すると、以下のようになる。



2. 3次元超曲面孤立特異点

Definition 1 [WI]

次の二つの条件は同値である。この条件を満たすとき、3次元特異点  $(X, x)$  は simple K3 singularity である。

- 1)  $(X, x)$  が  $(0, 2)$ -type の Gorenstein purely elliptic singularity である。
- 2) 任意の  $\mathbb{Q}$ -factorial terminal modification  $\delta : (Y, D) \rightarrow (X, x)$  に対して、例外因子  $D$  が normal K3 surface である。

simple K3 Singularity は、3次元孤立  $(0, 2)$ -type の Gorenstein purely elliptic singularity として特徴づけることができる。

Example

$f(x, y, z, w)$  を  $p + q + r + s = h$  となる  $type(p, q, r, s; h)$  の quasi-homogeneous 多項式とする。そして、 $f(x, y, z, w) = 0$  は  $C^4$  の原点で孤立特異点をもつと仮定する。このとき、

原点は simple K3 singularity となる。

2次元超曲面孤立特異点の分類と同様に、3次元超曲面孤立特異点の分類に対しても、Newton 境界を用いることが有効である。

Newton 境界

$(X, x)$  が非退化多項式  $f = \sum a_v x^v \in C[x_0, x_1, \dots, x_n]$ 、そして、 $x = 0 \in C^{n+1}$  によって定義された hypersurface singularity とする。 $f$  の Newton boundary  $\Gamma(f)$  は  $R^{n+1}$  で  $\cup_{a_n \neq 0} (n + R_0^{n+1})$  の凸包となる  $\Gamma_+(f)$  のコンパクト面の和集合である。

$\Gamma_+(f)$  を任意の面  $D$  とし、 $f_{Di} = \sum_{n \in D} a_v X^v$  とする。このとき、 $\frac{\partial f_{Di}}{\partial x_0} = \frac{\partial f_{Di}}{\partial x_1} = L = \frac{\partial f_{Di}}{\partial x_n} = 0$  が  $(C^*)^{n+1}$  で解を持たないならば、この  $f$  を非退化という。

Theorem[WI]

$f$  を非退化多項式とする。そして、 $X = \{f = 0\}$  が  $X = 0 \in C^{n+1}$  で孤立特異点を持つと仮定する。

1)  $(X, x)$  は  $(1, 1, \dots, 1) \in \Gamma(f)$  のとき、かつ、そのときに限って purely elliptic である。

2)  $n=3$ 、 $D_0$  を  $\Gamma(f)$  の face、そして、 $D_0$  が内点として  $(1, 1, \dots, 1)$  を含んでいる  $\Gamma(f)$  とする。このとき  $(X, x)$  は simple K3 singularity となり、 $\dim_R D_0 = 3$  となる。

### 3. Deformation

米村 [Y] は、超曲面 simple K3 singularities を、その非退化定義方程式によって分類し、95個の例を得た。我々は、この米村の分類結果を用いて、Simple K3 Singularity の weights のうち一番小さい weight をさらに小さくして、特異点の Deformation を行った。これにより Simple K3 singularity は  $h^1(X, x) = 0$  ,  $(0, 1)$  - type に変形される。その際に用いた Mathematica Program を以下に示す。

Program1

```
f=. ; x=. ; y=. ; z=. ; w=. ; xx=. ; yy=. ; zz=. ; ww=. ; p0=. ; p1=. ;
p2=. ; t=. ; a=. ; b=. ; c=. ; d=. ; k1=. ; k2=. ; rp=. ; rp1=. ;
rld={ } ; r1=. ; r1=. ; r2=. ; r3=. ; rr=. ; rd1=. ; rd2=. ; rd3=. ;
total1=0 ; total2=0 ; s ; fdd={ } ; c1=0 ; c2=0 ; sdd={ } ; sc=0 ; fd=. ;
ss=. ; tota={ } ; sp={ } ; taitol = Yonemura[21][7]
f = w^5+w x^2+x^2y+y^5+x^2z+z^5
f = f
ss=Solve[ {D[f,x]==0,D[f,y]==0,D[f,z]==0,D[f,w]==0} ] ;
```

```

Do[If[ Length[ ss[[rp]] ]==4 , Do[
  If[ NumberQ[rr=x/.ss[[rp,rp1]]]==True , xx=rr ,
  If[ NumberQ[rr=y/.ss[[rp,rp1]]]==True , yy=rr ,
  If[ NumberQ[rr=z/.ss[[rp,rp1]]]==True , zz=rr ,
  If[ NumberQ[rr=w/.ss[[rp,rp1]]]==True , ww=rr ]]]],{rp1,1,4} ] ;
  If[ xx==0 && yy==0 && zz==0 && ww==0 ,
sc=sc+1 , sc=sc+0 ] , sc=sc+0], {rp,1,Length[ss]} ] ;
If[ sc!=0 , Print[ Df_,{xx,yy,zz,ww} ] , Print[ Df_Warning ] ] ;
Do[fd[[rp]]=Exponent[f[[rp]],x]*x+Exponent[f[[rp]],y]*y+
Exponent[f[[rp]],z]*z+Exponent[f[[rp]],w]*w==1;
fdd = Join[ fdd,{fd[[rp]]}];,{rp,1,Length[f]}]
s = Solve[fdd] ;
Do[If[ NumberQ[rr=x/.s[[1,rp]]]==True , xx=rr ,
  If[ NumberQ[rr=y/.s[[1,rp]]]==True , yy=rr ,
  If[ NumberQ[rr=z/.s[[1,rp]]]==True , zz=rr ,
  If[ NumberQ[rr=w/.s[[1,rp]]]==True , ww=rr ]]]] ,{rp,1,4} ] ;
Print[ {xx,yy,zz,ww} ]
Do[If[ NumberQ[xx]!=True || NumberQ[yy]!=True || NumberQ[zz]!=True ||
NumberQ[ww]!=True ||xx==0 || yy==0 || zz==0 || ww==0 ,Break[]]; ] ;
fg={{{}},{},{},{},{},{},{},{},{},{},{},{},{},{},{}};
fgw={};fgz={};fgy={};fgx={};fdg=. ;fgg={};fg1={};fg2={};fg3={};fg4={};
ad={f /.w->0,f /.z->0,f /.y->0,f /.x->0} ;
ax={x,y,z,w} ; axd={x,y,z,w} ;aq={{1,2,3},{1,2,4},{1,4,3},{4,2,3}} ;
Do[Do[If[ rp2==1 ,fdg={{ Exponent[ ad[[rp1,rp2]],x ] ,
Exponent[ ad[[rp1,rp2]],y ] , Exponent[ ad[[rp1,rp2]],z ] ,
Exponent[ ad[[rp1,rp2]],w ] }},
fdg=Join[fdg,{ Exponent[ ad[[rp1,rp2]],x ] ,
Exponent[ad[[rp1,rp2]],y], Exponent[ad[[rp1,rp2]],z],
Exponent[ad[[rp1,rp2]],w]}]]],{rp2,1,Length[ad[[rp1]]]}];ax[[5-rp1]]=0;
Do[If[ 5-rp1==rp2 , Continue[] , ax[[rp2]]=0 ] ; e1=0 ; e2=0 ;
While[ ax[[ 1+Mod[rp2+e1,4] ]]==0 , e1++ ] ; e1=e1+1 ;
While[ ax[[ 1+Mod[rp2+e1+e2,4] ]]==0 , e2++ ] ;
For[ d1=0,d1<=Exponent[ad[[rp1]],axd[[1+Mod[rp2+e1+e2,4]]]],d1++ ,
For[ d2=0,d2<=Exponent[ad[[rp1]],axd[[1+Mod[rp2+e1-1,4]]]],d2++ ,
  ax[[1+Mod[rp2+e1-1,4]]]=d2 ; ax[[1+Mod[rp2+e1+e2,4]]]=d1 ;
  a=ax[[1]] ; b=ax[[2]] ; c=ax[[3]] ; d=ax[[4]] ;
Do[If[fdg[[rp3]]=={a,b,c,d},Do[If[ fg[[rp1,rp4]]=={{}},
fg[[rp1,rp4]]={{a,b,c,d}[[aq[[rp4]]]]}], fg[[rp1,rp4]]=
Join[ fg[[rp1,rp4]],{{a,b,c,d}[[aq[[rp4]]]]}],{rp4,1,4}]],
{rp3,1,Length[fdg]}]]]; ax[[rp2]]=axd[[rp2]];

```

```

ax[[1+Mod[rp2+e1-1,4]]]=axd[[1+Mod[rp2+e1-1,4]]];
ax[[1+Mod[rp2+e1+e2,4]]]=axd[[1+Mod[rp2+e1+e2,4]]];,{rp2,1,4}];
ax[[5-rp1]]=axd[[5-rp1]]];,{rp1,1,4}];fgd={fgw,fgz,fgy,fgx};
ftd={ftw={},ftz={},fty={},ftx={}};
Do[Do[If[ rp2==1,fgd[[rp1]]={ Line[ Join[fg[[rp2,rp1]],
{fg[[rp2,rp1,1]]}]}],fgd[[rp1]]=Join[ fgd[[rp1]],{
Line[ Join[fg[[rp2,rp1]],{fg[[rp2,rp1,1]]}]}]}],{rp2,1,4}];
ft=. ;
Do[ft[rp2]=Text[ f[[rp2]],{Exponent[f[[rp2]],If[rp1==4,w,x]],
Exponent[f[[rp2]],If[rp1==3,w,y]],Exponent[f[[rp2]],If[rp1==2,w,z]]}];
If[rp2==1,ftd[[rp1]]={ft[rp2]},ftd[[rp1]]=Join[ftd[[rp1]],{ft[rp2]}]],
{rp2,1,Length[f]}],{rp1,1,4}];
fgw=fgd[[1]] ; fgz=fgd[[2]] ; fgy=fgd[[3]] ; fgx=fgd[[4]] ;
ftw=ftd[[1]] ; ftz=ftd[[2]] ; fty=ftd[[3]] ; ftx=ftd[[4]] ;
Show[GraphicsArray[{{
Graphics3D[{fgw,ftw},PlotRange->All,Boxed->False,
ViewPoint->{5.985,5.361,4.054} ],
Graphics3D[ {fgz,ftz},PlotRange->All,Boxed->False,
ViewPoint->{5.985,5.361,4.054} ]},
{Graphics3D[ {fgy,fty},PlotRange->All,Boxed->False,
ViewPoint->{5.985,5.361,4.054} ],
Graphics3D[ {fgx,ftx},PlotRange->All,Boxed->False,
ViewPoint->{5.985,5.361,4.054} ]}],Boxed->False ],{rp,0,0}]
t=LCM[Denominator[xx],Denominator[yy],Denominator[zz],
Denominator[ww]]; a*xx*t + b*yy*t + c*zz*t + d*ww*t == 1*t ;
Do[If[ NumberQ[xx]!=True || NumberQ[yy]!=True ||
NumberQ[zz]!=True || NumberQ[ww]!=True , Break[]];];
For[ a=0 , a*xx*t<=1*t , a++ ,
For[ b=0 , a*xx*t + b*yy*t <= 1*t , b++ ,
For[ c=0 , a*xx*t + b*yy*t + c*zz*t <= 1*t , c++ ,
For[ d=0 , a*xx*t + b*yy*t + c*zz*t + d*ww*t <= 1*t , d++ ,
If[ a*xx*t + b*yy*t + c*zz*t + d*ww*t == 1*t , p0={a,b,c,d};
total1=total1+1; If[ tota=={},tota={p0},tota=Join[tota,{p0}]]];
For[ k1=1 , k1<=Length[ f ]-1 , k1++ ,
p1={ Exponent[ f[[k1]],x ],Exponent[ f[[k1]],y ],
Exponent[ f[[k1]],z ],Exponent[ f[[k1]],w ]};
For[ k2=k1+1 , k2<=Length[ f ] , k2++ ,
p2={ Exponent[ f[[k2]],x ],Exponent[ f[[k2]],y],
Exponent[ f[[k2]],z ],Exponent[ f[[k2]],w]};
s=Solve[{r1*p0[[1]]+r2*p1[[1]]+r3*p2[[1]]==1 &&

```

```

r1*p0[[2]]+r2*p1[[2]]+r3*p2[[2]]==1 &&
r1*p0[[3]]+r2*p1[[3]]+r3*p2[[3]]==1 &&
r1*p0[[4]]+r2*p1[[4]]+r3*p2[[4]]==1},{r1,r2,r3}];
If[s!={},Do[If[ NumberQ[ rr=r1/.s[[1,rp1]] ]==True , rd1=rr ,
  If[ NumberQ[ rr=r2/.s[[1,rp1]] ]==True , rd2=rr ,
    If[ NumberQ[ rr=r3/.s[[1,rp1]]]==True , rd3=rr]]],{rp1,1,3}];
If[sp=={},sp={{p0,p1,p2},{rd1,rd2,rd3}}},
  sp=Join[ sp,{{p0,p1,p2},{rd1,rd2,rd3}}]];
If[rd1>0 && rd2>0 && rd3>0,If[sdd=={},Print[sdd={{p0,p1,p2}}];
  Print[f+w^(Exponent[f,w]+1)+(x^p0[[1]])(y^p0[[2]])
  (z^p0[[3]])(w^p0[[4]])];total2=total2+1,
  Do[If[ (sdd[[rp1,1]]==p0 || sdd[[rp1,2]]==p0 || sdd[[rp1,3]]==p0)
  && (sdd[[rp1,1]]==p1 || sdd[[rp1,2]]==p1 || sdd[[rp1,3]]==p1) &&
  (sdd[[rp1,1]]==p2 || sdd[[rp1,2]]==p2 || sdd[[rp1,3]]==p2) ,
  c1=1 ; Break[]],{rp1,1,total2}];If[ c1==0,
  sdd = Join[ sdd,{{p0,p1,p2}}]; Print[ {{p0,p1,p2}}];
Print[f+w^(Exponent[f,w]+1)+(x^p0[[1]])(y^p0[[2]])
(z^p0[[3]])(w^p0[[4]])];total2=total2+1];c1=0;c2=0;]],If[sp=={},
sp={{p0,p1,p2},{}}},sp=Join[sp,{{p0,p1,p2},{}}]];];
r1=. ; r2=. ; r3=. ; rd1=. ; rd2=. ; rd3=. ;]]]]];
ffd={{},{}},{},{}];fft={{},{}},{},{}];r1={{},{}},{},{}]; cf=0 ;
Do[Do[If[rp2==1,a=1;b=2;c=3;a1=0;b1=0;c1=0,
  If[rp2==2,a=1;b=2;c=4;a1=0;b1=0;c1=Exponent[f,w]+1,
  If[rp2==3,a=1;b=4;c=3;a1=0;b1=Exponent[f,w]+1;c1=0,
  a=4;b=2;c=3;a1=Exponent[f,w]+1;b1=0;c1=0]]];
Do[If[sdd[[rp1,1,rp3]]!=0,cf=cf+1,cf=cf+0],{rp3,1,4}];rld={{}};
Do[If[sdd[[rp1,rp3,5-rp2]]==0,If[ rld[[1]]=={},
  rld[[1]]=sdd[[rp1,rp3]],rld=Join[rld,{sdd[[rp1,rp3]]}]]];,
{rp3,1,3}];cf1=0;
Do[If[rld[[rp3,4]]!=0,cf1=cf1+1,cf1=cf1+0],{rp3,1,Length[rld]}];
cf3=0;Do[Do[If[f[[rp4]]==(x^rld[[rp3,1]])(y^rld[[rp3,2]])*
(z^rld[[rp3,3]])(w^rld[[rp3,4]]),cf3=cf3+1,cf3=cf3+0],
{rp4,1,Length[f]}],{rp3,1,Length[rld]}];
If[ cf>2 || cf1==0 || cf3>1,rld=sdd[[rp1]]]; cf=0 ;
If[ Length[rld]!=2,r1[[rp2]]={RGBColor[1,0,0],Line[{}]},
r1[[rp2]]={RGBColor[1,0,0],Line[{{rld[[1,a]],rld[[1,b]],rld[[1,c]],
{rld[[2,a]],rld[[2,b]],rld[[2,c]]}}]}}];
ffd[[rp2]]={RGBColor[0,0,1],Polygon[{{sdd[[rp1,1,a]],sdd[[rp1,1,b]],
sdd[[rp1,1,c]],{sdd[[rp1,2,a]],sdd[[rp1,2,b]],sdd[[rp1,2,c]],
{sdd[[rp1,3,a]],sdd[[rp1,3,b]],sdd[[rp1,3,c]]},{sdd[[rp1,1,a]],

```

```

sdd[[rp1,1,b]],sdd[[rp1,1,c]]}}];fft[[rp2]]={RGBColor[.3,0,0],
Text[(x^sdd[[rp1,1,1]])(y^sdd[[rp1,1,2]])(z^sdd[[rp1,1,3]]
(w^sdd[[rp1,1,4]]),{sdd[[rp1,1,a]],sdd[[rp1,1,b]],sdd[[rp1,1,c]]}}];
If[rp2==1,flw={{RGBColor[0,0,1],{Line[{{a1,b1,c1},{sdd[[rp1,1,a]],
sdd[[rp1,1,b]],sdd[[rp1,1,c]]}},Line[{{a1,b1,c1},{sdd[[rp1,2,a]],
sdd[[rp1,2,b]],sdd[[rp1,2,c]]}},Line[{{a1,b1,c1},{sdd[[rp1,3,a]],
sdd[[rp1,3,b]],sdd[[rp1,3,c]]}}}}}},
flw=Join[flw,{{RGBColor[0,0,1],{Line[{{a1,b1,c1},{sdd[[rp1,1,a]],
sdd[[rp1,1,b]],sdd[[rp1,1,c]]}},Line[{{a1,b1,c1},{sdd[[rp1,2,a]],
sdd[[rp1,2,b]],sdd[[rp1,2,c]]}},Line[{{a1,b1,c1},{sdd[[rp1,3,a]],
sdd[[rp1,3,b]],sdd[[rp1,3,c]]}}}}}],{rp2,1,4}];
Show[GraphicsArray[{{Graphics3D[{fgw,ftw,ffd[[1]],fft[[1]],flw[[1]],
r1[[1]]},PlotRange->All,Boxed->False,ViewPoint->{5.985,5.361,4.054}],
Graphics3D[{fgz,ftz,ffd[[2]],fft[[2]],flw[[2]],r1[[2]]},
PlotRange->All,Boxed->False,ViewPoint->{5.985,5.361,4.054}],
Graphics3D[{fgy,fty,ffd[[3]],fft[[3]],flw[[3]],r1[[3]]},
PlotRange->All,Boxed->False,ViewPoint->{5.985,5.361,4.054}],
Graphics3D[{fgx,ftx,ffd[[4]],fft[[4]],flw[[4]],r1[[4]]},
PlotRange->All,Boxed->False,ViewPoint->{5.985,5.361,4.054}}}],
{rp1,1,Length[sdd]},{rp,0,0}
Print[ {total1,total2}]

```

## Program2

```

Do[If[rp==1,fd={{Exponent[f[[rp]],x],Exponent[f[[rp]],y],
Exponent[f[[rp]],z],Exponent[f[[rp]],w]}},
fd=Join[fd,{{Exponent[f[[rp]],x],Exponent[f[[rp]],y],
Exponent[f[[rp]],z],Exponent[f[[rp]],w]}},],{rp,1,Length[f]}]
fv=fd;total3=0;total4=0;ff={};ff1={};sc=0;az={xx,yy,zz,ww}
Do[Do[If[IntegerQ[ az[[rp]]/az[[rp1]]]==True,Do[
If[(a=fv[[rp2,rp]])>=1,For[b=1,a-b>=1,b++,
fv[[rp2,rp]]=fv[[rp2,rp]]-1;
fv[[rp2,rp1]]=fv[[rp2,rp1]]+az[[rp]]/az[[rp1]];
Do[If[rp3==1,fw=(x^fv[[rp3,1]])(y^fv[[rp3,2]])(z^fv[[rp3,3]]
(w^fv[[rp3,4]]),
fw=Plus[fw,(x^fv[[rp3,1]])(y^fv[[rp3,2]])(z^fv[[rp3,3]]
(w^fv[[rp3,4]]))],{rp3,1,Length[fv]};total3=total3+1;
s=Solve[ {D[fw,x]==0,D[fw,y]==0,D[fw,z]==0,D[fw,w]==0}];
Do[If[Length[s[[rp3]]]==4,Do[If[ NumberQ[rr=x/.s[[rp3,rp4]]]==True,
xx1=rr,If[ NumberQ[rr=y/.s[[rp3,rp4]]]==True,yy1=rr,

```

```

If[ NumberQ[rr=z/.s[[rp3,rp4]]]==True,zz1=rr,
  If[ NumberQ[rr=w/.s[[rp3,rp4]]]==True,ww1=rr]]],
  {rp4,1,4}];
If[(xx1==0 && yy1==0 && zz1==0 && ww1==0),sc=sc+1,sc=sc+0],sc=sc+0],
  {rp3,1,Length[s]}];
If[sc!=0,total4=total4+1;If[ff=={ },ff={fw},ff=Join[ff,{fw}]];
Print[{fw,Df_{,}{xx1,yy1,zz1,ww1}],If[ff1=={ },ff1={fw},
  ff1=Join[ff1,{fw}]];
Print[{fw,Df_Warning}]];sc=0;xx1=.;yy1=.;zz1=.;ww1=.;];fv=fd],
  {rp2,1,Length[fv]}]],{rp1,rp+1,4}],{rp,1,3}]
Print[{total3,total4}]
Do[ Print[ff[[rp]]],{rp,1,Length[ff]}]

```

### 参 考 文 献

- [1] K. Watanabe and S. Ishii, "On simple K3 singularities (in Japanese)", Proc. of Con. on Algebraic Geometry at Tokyo Metropolitan Univ. (N. Sasakura, ed.), pp. 20-31 (1988).
- [2] T. Yonemura, "Hypersurface Simple K3 Singularities", Tohoku Math. J, 42, pp. 351-380 (1990).